

4. Cochran S., Banner D. Spall studies in uranium.— J. Appl. Phys., 1977, vol. 48, N 7.
5. Голубев В. К., Повиков С. А. и др. О механизмах откольного разрушения сталей Ст. 3 и 12Х18Н10Т в температурном диапазоне — 196 ... 800°C.— Проблемы прочности, 1981, № 5.
6. Тарасов Б. А. Сопротивление разрушению пластин при ударном нагружении.— Проблемы прочности, 1974, № 3.
7. Schmidt R. M., Davies F. W. a. o. Temperature dependent spall threshold of four metal alloys.— J. Phys. Chem. Solids, 1978, vol. 39, N 4.
8. Smith J. H. Three low pressure spall threshold in copper.— In: Dynamic Behavior of Materials. Philadelphia: ASTM, 1963.
9. Stevens A. L., Tuler F. R. Effect of shock precompression on the dynamic fracture strength of 1020 steel and 6061-T6 aluminum.— J. Appl. Phys., 1971, vol. 42, N 13.
10. Ashby M. F., Gandhi C., Taplin D. M. R. Fracture-mechanism maps and their construction for f. c. c. metals and alloys.— Acta Metallurgica, 1979, vol. 27, N 3.
11. Fields R. J., Weerasooriya T., Ashby M. F. Fracture-mechanisms in pure iron, two austenitic steels, and one ferritic steel.— Metallurg. Trans., 1980, vol. 11A, N 2.
12. Steinberg D. J., Sharp R. W. Interpretation of shock-wave data for beryllium and uranium with an elastic-viscoplastic constitutive model.— J. Appl. Phys., 1981, vol. 52, N 8.
13. Новиков С. А., Дивнов И. И., Иванов А. Г. Исследование разрушения стали, алюминия и меди при взрывном нагружении.— ФММ, 1966, т. 21, вып. 4.
14. Канель Г. И., Щербань В. В. Пластическая деформация и откольное разрушение железа Армко в ударной волне.— ФГВ, 1980, № 4.
15. Speight C. S., Taylor P. F., Wallace A. A. Observations of spallation and attenuation effects in aluminium and beryllium from free-surface velocity measurements.— In: Metallurgical Effects at High Strain Rates. N. Y.— L.: Plenum Press, 1973.

УДК 539.42 : 620.172.254

## ИССЛЕДОВАНИЕ ОТКОЛЬНОГО РАЗРУШЕНИЯ ПРИ УДАРНОМ ДЕФОРМИРОВАНИИ. МОДЕЛЬ ПОВРЕЖДАЕМОЙ СРЕДЫ

*П. Х. Ахмадеев*

(Уфа)

В связи с разнообразными применениями действия ударных волн в технике и науке важным является вопрос о прочности испытываемых материалов в условиях интенсивных динамических воздействий. В настоящее время достаточно хорошо изучена область статических и квазистатических разрушений при растяжении. Большое признание получила кинетическая (термофлуктуационная) теория прочности твердых тел (дающая зависимость долговечности образца от величины растягивающих напряжений  $\sigma$  и от температуры  $T$ ), справедливая для разрушений, происходящих за времена от  $10^7$  до  $10^{-3}$  с [1]. Для разрушений в масштабе времен  $\sim 10^{-6}$  с имеется только система опытных фактов, пока недостаточная для полного понимания процессов, происходящих при динамическом разрушении.

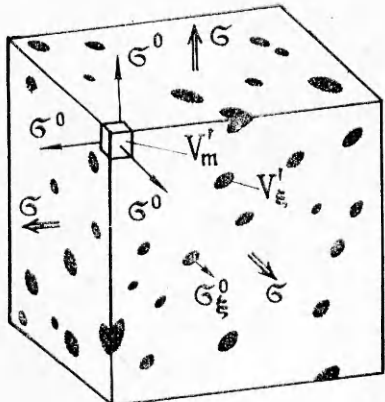
**1. Динамическое откольное разрушение.** Рассматривается откольное разрушение пластины — мишени конечной толщины, предварительно подвергнутой ударному нагружению, происходящее за очень малые времена ( $\sim 10^{-6}$ — $10^{-7}$  с) при встречном взаимодействии волн разрежения, движущихся от свободных поверхностей пластин. При столкновении волн разрежения с интенсивностью 13 ГПа и выше откол в железных и стальных образцах характеризуется образованием очень гладких (зеркальных) поверхностей разрушения [2] с высокой чистотой откольных поверхностей и является результатом столкновения волн разрежения, на которых реализуются обратные  $\varepsilon \rightarrow \alpha$  фазовые превращения. По мере снижения уровня разрывающих напряжений чистота поверхностей откола становится все меньшей и при действии достаточно небольших (4—5 ГПа) растягивающих напряжений области, близкие к поверхности откола, характеризуются наличием большого числа микроповреждений. На это указывают имеющиеся опытные факты ряда экспериментальных работ по соударению пластины [3—6], в которых для испытываемых материалов (металлы, полимеры) выявлено, что в зоне действия растягивающего импульса происходит интенсивное образование микроповреждений (в виде плоских трещин или округлых пор), приводящее по мере их накопления до некоторого критического уровня к полному разрушению (отрыву) в сечении пластины, отстоящем от ее внешней свободной поверхности на расстоянии, примерно равном длине ударника. Микроповреждения в зоне разрыва образуются в результате нарушения сплошности на субмикроскопических неоднородностях (твердые фазы, частицы нерастворимых примесей и т. д.) под действием растягивающих напряжений, а также за счет раскрытия уже имеющихся субмикрополостей (газовые пузыри, усадочные полости, раковины и т. п.). В настоящее время нет прямых методов, позволяющих измерять напряжения или деформации (или другие параметры) в обла-

сти разрушения, по процессе откольного разрушения судят по экспериментально фиксируемой скорости  $\dot{W}(t)$  свободной поверхности мишени, по толщине отковавшегося слоя  $\delta^*$  и структуре зон, близких к поверхности откола [3—5], поэтому для анализа процесса разрушения необходимо привлечение математических моделей.

При исследовании откольных разрушений, вызванных действием напряжений растяжения порядка 6—8 ГПа и выше и характеризующихся очень малым временем задержки разрушения после появления растягивающих напряжений, вполне применима схематизация мгновенного откола [7], когда сразу по достижении некоторого критического (отрывного) напряжения  $\sigma^*$  образуется магистральная трещина, разделяющая образец на части в том месте, где впервые напряжение  $\sigma$  достигнет значения  $\sigma^*$ . Попытки использовать для описания откола предельные критерии, основанные на критических разрушающих напряжениях  $\sigma^*$ , и их различные модификации (например, учитывающие скорость роста напряжений в разрушающем сечении и т. п.) в волнах меньшей интенсивности не привели к удовлетворительным результатам, поскольку в волнах растяжения с напряжениями 4—5 ГПа и ниже преобладающим фактором в разрушении становится образование микроповреждений, приводящих к задержке разрушения и существенно меняющих картину течения. Прежде всего с ростом микроповреждений происходит уменьшение среднего напряжения в макрообъеме поврежденной среды [8] и возможность введения некоторого максимального  $\sigma^*$ , хотя бы даже условного, вызывает сомнения. Кроме того, в подобных условиях разрушение об разца происходит с запаздыванием и развивается в течение некоторого времени, после того как возникли растягивающие напряжения, достаточные для образования локальных повреждений, поэтому необходимо учитывать появление и накопление микроповреждений в материале, ответственных за механизм откольного разрушения, а при возвратном сжатии — возможность их частичного или полного закрытия. Необходимость введения меры повреждения или функции повреждаемости при описании разрушений в твердых телах понималась исследователями давно (см., например, [9]). К настоящему времени разработан ряд моделей, в которых для описания откольного разрушения вводится непрерывная мера повреждения, обычно отождествляемая с объемным содержанием пустот. В [5] развивается модель откольного разрушения при действии растягивающего импульса с учетом зарождения определенного числа начальных микротреции или микроразрывов фиксированных размеров, а затем и их роста путем раскрытия образовавшихся микроповреждений. Полное отделение части образца происходит за счет слияния микропустот в единую макротрецию. В [5] используются результаты детального исследования разрушенных образцов, в которых микроразрушения классифицированы по форме, размерам и определено их объемное распределение в зависимости от размеров, а в случае образования микротреции — и от их ориентации. Разрушение, характеризующееся образованием микротреции (имеющих форму плоского диска), назовано хрупким, этот тип разрушения наблюдался в образцах из армко-железа. Когда же в зоне разрыва образуются почти сферические микропустоты (что характерно для алюминиевых образцов), разрушение определено как вязкое. Следует отметить, что предлагаемые в [5] расчетные модели перегружены кинетическими константами, используемыми при описании кинетики зарождения микротрещин и скорости их раскрытия. Пример использования подобной модели для описания разрушения в медных образцах приведен в [10]. Несколько более простая схема откольного разрушения как результата накопления повреждений, зависящих от приложенного напряжения и от уже имеющегося разрушения, используется в [11]. Модель разрушения вязкопластических сред с накоплением повреждений и учетом их влияния в сдвиговых напряжениях строится в [12].

В данной работе предлагается модель повреждаемой среды, учитывающая процессы образования микроповреждений при действии растягивающих напряжений, способных с течением времени развиваться в макроразрушение в виде откольной трещины, разделяющей нагружаемый образец на части. Чтобы не усложнять и без того достаточно сложную модель течения с разрушениями, рассматривается упругопластическая модель, в которой основное внимание обращается на процесс образования микроповреждений, определения и исследования кинетики их роста в волнах растяжения. При этом рассматриваются не очень слабые волны (с уровнем напряжений 4—5 ГПа) и при необходимости в волнах меньшего уровня напряжений вязкопластические свойства деформируемых сред можно учесть на основе дислокационных представлений [13].

**2. Уравнения модели.** Рассмотрим движение повреждаемой конденсированной среды, в которой имеются микрополости. Такую среду можно представить как смесь двух фаз [14], каждая из которых занимает некоторую часть общего объема смеси  $V$  и на межфазных поверхностях которой макроскопические характеристики среды (например, плотность) терпят разрыв. Пусть первая фаза есть неповрежденная часть несущей среды (будем называть ее в дальнейшем матрицей), занимающая объем  $V_m$  и характеризующаяся истинной плотностью  $\rho^0$ . Вторая фаза — микрополости, занимающие объем  $V_\xi$  с истинной плотностью материала полостей (газ)  $\rho_\xi^0$ , причем выполняется очевидное неравенство  $\rho_\xi^0 \ll \rho^0$ . В качестве иллюстрации на фиг. 1 показан кубический макрообъем  $V$  повреждаемой



Ф и г. 1

среды с линейными макроскопическими размерами  $l$ , в котором выделены микрообъемы матрицы несущей среды  $V'_m$  и полостей  $V'_\xi$  с характерными размерами  $\lambda \ll l$ . Ясно, что суммирование указанных микрообъемов  $V'_m$  и  $V'_\xi$  по всему макрообъему смеси ( $V \gg V'_m, V'_\xi$ ) даст соответственно общие объемы фаз смеси:

$$V_n = \sum_V V'_m \quad \text{и} \quad V_\xi = \sum_V V'_\xi,$$

которые и составляют исходный объем смеси  $V$ , т. е.  $V = V_m + V_\xi$ . Определим удельное объемное содержание микроповреждений  $\xi$  как отношение  $V_\xi/V$ , тогда

для средней плотности повреждаемой среды  $\rho$  имеет место соотношение

$$(2.1) \quad \rho = \rho^0 (1 - \xi) + \rho_\xi^0 \xi \approx \rho^0 (1 - \xi).$$

Выпишем законы сохранения массы, импульса и энергии в одномерном плоском случае для средних величин повреждаемой среды:

$$(2.2) \quad \frac{1}{\rho} \frac{\partial \rho}{\partial t} = - \frac{\rho}{\rho_0} \frac{\partial u}{\partial r}, \quad \rho_0 \frac{\partial u}{\partial t} = \frac{\partial \sigma}{\partial r}, \quad \rho_0 \frac{\partial e}{\partial t} = \sigma \frac{\partial u}{\partial r}.$$

Уравнения (2.2) справедливы до некоторого критического значения объемного содержания микроповреждений  $\xi^*$ . При достижении  $\xi^*$  повреждаемую среду уже нельзя описывать методами механики сплошных сред. Естественно связать это критическое значение  $\xi^*$  с образованием макроповреждения, когда в некоторой области течения происходит разрушение скелета матрицы несущей среды и превращение повреждаемой среды в этой области в совокупность разрозненных микрочастиц конденсированной фазы (порошок). Зона разрушения может представлять собой одну или несколько сквозных макротрещин, разделяющих образец на отдельные макроблоки, или макрополостей внутри образца, содержащих в себе микрочастицы исходной фазы.

В (2.2) использованы следующие обозначения:  $u$  — массовая скорость частиц смеси;  $e$  и  $\sigma$  — удельная внутренняя энергия и осредненный тензор напряжений повреждаемой среды (см. фиг. 1), которые представимы через соответствующие величины  $e^0$  и  $\sigma^0$  неповрежденного материала матрицы (называемые истинными величинами) в виде

$$(2.3) \quad e = e^0 + e_\xi^0 + e_\xi^s, \quad \sigma = \sigma^0 (1 - F(\xi)) + \sigma_\xi^0 \Phi(\xi),$$

где  $e_\xi^0$  и  $\sigma_\xi^0$  — удельная внутренняя энергия и напряжение материала микрополостей;  $e_\xi^s$  — энергия, связанная с образованием поверхностей микрополостей объема  $\xi$ . Материал фазы микроповреждений представляет собой растворенный в матрице газ или смесь газов (сопутствующий технологическому процессу изготовления исходной конденсированной среды, возможно частично разреженных), для параметров которой относительно параметров несущей конденсированной фазы, как и для плотностей  $\rho_\xi^0$  и  $\rho^0$ , справедливо  $e_\xi^0 \ll e^0$  и  $\sigma_\xi^0 \ll \sigma^0$ . Можно привести примеры, когда нельзя пренебречь величинами  $\rho_\xi^0, e_\xi^0$  и  $\sigma_\xi^0$  газовой фазы, образующейся в исходной твердой среде. В частности, при детонации твердых взрывчатых веществ плотность, давление и внутренняя энергия образующихся в процессе химической реакции газообразных продуктов детонации сравнимы по порядку величин с соответствующими величинами твердой фазы, и их следует учитывать в полной мере [15]. В (2.3)  $F(\xi)$  и  $\Phi(\xi)$  — функции формы микроповреждений. В простейшем случае  $F(\xi) = \Phi(\xi) = \xi$ . Необходимость учета в модели формы микроповреждений вызвана тем, что

объем единичной микротрешины в форме плоского диска (даже когда радиус диска совпадает с радиусом поры) меньше объема единичной сферической микропоры. Поэтому при образовании плоских микротрешин ( $\xi_c$ ) и сферических микропор ( $\xi_p$ ) одинакового удельного объемного содержания  $\xi_c = \xi_p$  количество микротрешин  $N_c$  и их общая поверхность  $S_c$  (являющаяся межфазной в поврежденной среде) больше соответствующих величин  $N_p$  и  $S_p$  для микропор. В силу этого осредненное напряжение  $\sigma$ , реализующееся на произвольно выделенной макроплощадке  $S$  в поврежденной среде, зависит от формы микроповреждений, а для микротрешин — и от ориентации. Внутренняя энергия и напряжение в неповрежденных микробъемах несущей среды определяются соотношениями  $e^0 = e^0(\rho^0, T)$  и  $\sigma^0 = -p^0(\rho^0, T) + \tau^0$ , в которых для описания  $e^0(\rho^0, T)$  и  $p^0(\rho^0, T)$  можно использовать уравнение состояния Ми—Грюнайзена [16]. Для девиатора напряжений в упругой области предполагается справедливым закон Гука

$$(2.4) \quad \frac{d\tau^0}{dt} = -\frac{4}{3} \frac{\mu}{\rho^0} \frac{\partial \rho^0}{\partial t} \quad \text{при } \tau^0 < \tau_s.$$

В области пластического течения, когда  $\tau^0 \geq \tau_s$ , в соответствии с условием текучести Мизеса девиатор  $\tau^0$  сохраняется на пределе текучести  $\tau^0 = \tau_s$ . В (2.4)  $\mu$  и  $\tau_s$  — эффективные модуль сдвига и предел текучести в макрочастице поврежденной среды, учитывающие, что в ослабленном микроповреждениями материале эти характеристики должны уменьшаться по сравнению с  $\mu^0$  и  $\tau_s^0$  неповрежденного материала. Положим, что это изменение, как и для  $\sigma$ , зависит от формы образующихся микроповреждений:  $\mu = \mu^0(1 - F(\xi))$ ,  $\tau_s = \tau_s^0(1 - F(\xi))$ . Соотношение (2.4) с учетом (2.1) и закона сохранения массы (2.2) можно преобразовать к виду

$$(2.5) \quad \frac{d\tau^0}{dt} = \frac{4}{3} \mu \left[ \frac{\rho}{\rho_0} \frac{\partial u}{\partial r} - \frac{1}{1-\xi} \frac{d\xi}{dt} \right],$$

который показывает, что при определении девиатора  $\tau^0$  в полной деформации поврежденной среды (см. в (2.5) первое слагаемое) необходимо учитывать деформацию за счет роста микропустот (см. в (2.5) второе слагаемое).

**3. Кинетика повреждений.** При проведении экспериментов по откольному разрушению обнаружено [3], что степень повреждения среды при динамическом растяжении зависит от интенсивности волны растяжения  $\sigma^0$  и от времени действия приложенного напряжения. Имеются экспериментальные факты, которые указывают, что образование и рост повреждений зависят от структурных параметров  $\eta_i$ , например от сорта испытываемого материала [5] и механических характеристик образцов (размера зерна, механических примесей, ориентации предварительной механической обработки и т. п.). В [4] выявлено, что одинаковую степень повреждений (например, полный откол) при прочих равных условиях можно достичь в волне несколько меньшей интенсивности, если направление действия растягивающих усилий будет перпендикулярно направлению технологической прокатки. В [17] показано, что на процесс разрушения влияет также и исходная зернистость материала (испытывались медные образцы) — уменьшение размеров зерна с 250—350 до 60—70 мкм при прочих равных условиях приводило к меньшей степени поврежденности образца (соответственно от полного откола к начальным микроповреждениям). Имеются данные о влиянии на процесс откола предварительной термообработки (отжига) и начальной температуры нагрева образцов  $T_0$  [18]. Кроме того, на рост повреждений, очевидно, должны влиять и уже имеющиеся микроповреждения  $\xi$ . Таким образом, можно считать, что уравнение кинетики имеет вид

$$(3.1) \quad \dot{\xi} = f(\sigma^0, \xi, T_0, \eta_i),$$

и предполагать, что имеющиеся в реальных материалах субмикродефекты (концентриаторы напряжений и зародышевые субмикрополости) равномер-

но распределены по объему и их достаточно много в каждом элементарном микрообъеме  $V'$  испытываемого материала; в противном случае можно было бы выделить участки образцов, обладающих теоретической прочностью на разрыв [19]. Имея в виду данные [1], отметим, что кинетику (3.1) можно разбить на две последовательные стадии, т. е. представить, что

$$\dot{\xi} = \psi(\sigma^0, \xi_0, T_0, \eta_i) + f(\sigma^0, \xi).$$

Первая стадия — предварительный кинетический процесс, отвечающий образованию субмикрополостей размеров  $\zeta (\zeta \ll \lambda)$ . Под действием растягивающих напряжений  $\sigma^0$  на твердых субмикродефектах (частицы нерастворенных примесей, твердые фазы и т. д.) в результате концентрации напряжений происходит нарушение сплошности несущей среды, а затем и их раскрытие вместе с уже имеющимися в исходной среде зародышевыми субмикрополостями (газовыми пузырьками и раковинами) объемного содержания  $\xi_0$ . Вторая стадия — рост микроповреждений из субмикрофазы размеров  $\zeta$  до некоторых (предельных) устойчивых микроразмеров  $\lambda$ . Отметим здесь следующее: образование макроповреждения с характерными макроскопическими размерами  $l$  не должно пониматься как рост единичной микрополости от размера  $\lambda$  (или объема  $V_\xi$ ) до макроразмера  $l$  (или до объема  $V_\xi^*$ , сравнимого с  $V$ ). Макроразрушение может дать только коллектив микроповреждений, из которых каждое имеет свои предельные линейные размеры масштаба  $\lambda$ , а в совокупности будет достигнуто критический уровень удельного объемного содержания  $\xi^* = V_\xi^*/V$ . Достижение критического уровня  $\xi^*$  приводит к настолько сильному ослаблению прочности матрицы несущей среды, что в рассматриваемой области ее скелет полностью разрушается.

В настоящее время для определения функции  $\psi$  практически нет опытных данных о параметрах разрушения на суб- и микроуровнях. Имеющийся экспериментальный материал в основном дает макроскопические параметры разрушения — длину и скорость полета отколотого слоя, и лишь в очень немногих работах, например в [3,5], имеются сведения о предельных размерах  $\lambda$  образующихся микроповреждений. Поэтому будем считать, что когда в матрице несущей среды растягивающее напряжение  $\sigma^0$  превышает некоторый уровень  $\sigma_L$ , то образование микроповреждений размеров  $\lambda$  происходит по следующей кинетике:

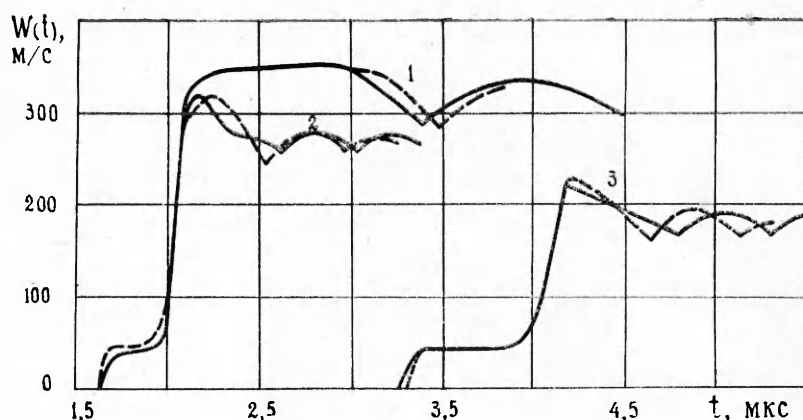
$$(3.2) \quad \dot{\xi} = f(\sigma^0 - \sigma_L, \xi) \text{ при } \xi < \xi^* \text{ и } \sigma^0 > \sigma_L,$$

где функцию  $f$  можно определить, моделируя условия реальных экспериментов. В [5], а затем и в [20] показывается, что при достижении  $\xi$  в некотором сечении величины порядка 7–10% (т. е.  $\xi^*$ ) происходит разделение образца. При  $\xi = 0$  в макрочастице повреждаемой среды напряжение  $\sigma$  совпадает с истинным напряжением  $\sigma^0$ , а  $F(\xi) = 0$ . С ростом  $\xi$  осредненное напряжение  $\sigma$  уменьшается и при  $\xi = \xi^*$  величина  $F(\xi) = 1$ , одновременно с этим напряжение  $\sigma = 0$ , что будет соответствовать полному разрушению макрочастицы, хотя истинное напряжение  $\sigma^0$  в этот момент в ее отдельных макрочастицах может быть и отлично от нуля. С ростом повреждений  $\xi$  должен уменьшаться и пороговый уровень разрушающих напряжений  $\sigma_L$  (по сравнению с уровнем  $\sigma_L^0$ , необходимым для образования повреждений в монолитном образце), для которого аналогично (2.3) примем  $\sigma_L = \sigma_L^0(1 - F(\xi))$ , предполагая, что в ослабленной микроповреждениями макрочастице испытываемого образца дополнительные повреждения можно вызвать уже меньшими растягивающими напряжениями  $\sigma^0$ .

Из анализа экспериментов по откольному разрушению ударом пластины со скоростью  $v_0$ , когда реализуется достаточной продолжительности волновой импульс, следует, что для фиксированных материалов и длин ударника и мишени  $l_1 - l_2$  можно ввести: пороговую скорость удара пластины  $v_s$ , отвечающую началу интенсивного зарождения и раскрытия суб-

микрополостей (для определения которой требуются эксперименты с изучением структуры нагружаемых образцов на суб- и микроуровнях); пороговую скорость  $V_m$ , отвечающую началу образования микроповреждений (обозначенную в [3] через  $v_1$ ) и зависящую от выбора того уровня объема субмикрополостей, который будет принят за переход к микроповреждениям (в [3] справедливо отмечается, что экспериментально определенная скорость  $v_1$  соответствует повреждениям, не являющимся начальными); пороговую скорость удара  $v_f$ , приводящую в результате накопления микроповреждений к макроиниции — откольной трещине, разделяющей образец на части (в [3] обозначенную через  $v_2$ ); и, наконец, пороговую скорость  $v_d$ , означающую переход к откольному макроразрушению без предварительного образования микроповреждений (т. е. гладкому или шероховатому). Введение пороговых скоростей удара позволяет выделить эксперименты с  $v_0 < v_s$ ,  $v_s \leq v_0 < v_m$ ,  $v_m \leq v_0 < v_f$ ,  $v_f \leq v_0 < v_d$ ,  $v_0 \geq v_d$ , которые соответствуют отсутствию разрушений в мишени; образованию и раскрытию субмикроповреждений с характерными размерами  $\zeta$ ; образованию единичных микроповреждений размеров  $\lambda$ ; образованию макроповреждения размера  $l$ , сравнимого с макроскопическими размерами испытываемых образцов ( $\zeta \ll \lambda \ll l$ ) и характеризующегося задержкой разрушения, определяемой кинетикой (3.1); образованию сквозной макротрещины в образце без задержки разрушения. Такая классификация скорости удара  $v_0$  дает возможность, например, объяснить имеющиеся различия в интерпретации данных экспериментов [6] и [18] по влиянию на откол температуры начального разогрева образцов  $T_0$ . В [6] образцы из отожженного алюминия ( $l_2 = 5-40$  мм) при начальной температуре 20 и 320°C нагружались полым алюминиевым стаканом ( $l_1 \approx 2$  мм) со скоростью  $v_0$  от 300 до 1200 м/с. Во всех экспериментах на интерферограммах скорости свободной поверхности  $W(t)$  наблюдались полный откол и автономное движение отколовшегося слоя  $\delta^*$ . Проведенная в [6] обработка экспериментальных измерений показала, что выбранные значения начальной температуры  $T_0$  не влияют на откол и, в частности, на зависимость долговечности образца от максимального разрывающего напряжения, в связи с чем в [6] сделан вывод об атермичности процесса откольного разрушения. В [18] для ряда металлов экспериментально получена зависимость критической скорости удара  $v_*$  (при которой визуально еще не наблюдалось образование повреждений) от начальной температуры  $T_0$ ; увеличение  $v_*$  на 5% приводило к частичному разрушению в виде локальных макротрещин, а дальнейшее увеличение скорости удара вело к отделению откольного слоя в центральной части образца, сопровождавшегося ростом поверхности отрыва за счет раскрытия магистральной макротрещины по берегам. В первом приближении при оценке сверху можно считать, что  $v_m \approx v_*$ , а  $v_f \approx (1 - 0,05) v_*$ . В [18] для пластин длиной 20 мм из неотожженного алюминия АД-1 при  $T_0 \approx 0^\circ\text{C}$ , нагружаемых ударником из сплава АМц с  $i_1 = 4$  мм, определена скорость  $v_* \approx v_m = 253$  м/с, а  $v_f \approx 265$  м/с. Интерполяция экспериментальных данных для температуры  $T_{00} = 20^\circ\text{C}$  (нормальные начальные условия) дает значения скоростей  $v_{m0} \approx 247$  м/с,  $v_{f0} \approx 260$  м/с; для  $T_0 = 320^\circ\text{C}$  соответственно  $v_m \approx 168$  м/с,  $v_f \approx 176$  м/с. В [18] также выявлено, что в условиях, близких к нормальным, предварительный отклик уменьшает скорость  $v_*$  примерно на 10%, с увеличением  $T_0$  зависимость  $v_*(T_0)$  для отожженного материала (меди) приближается к зависимости  $v_*(T_0)$  для неотожженного и совпадает с ней при  $T_0 \geq 600^\circ\text{C}$ .

Из представленных выше данных следует, что во всех испытаниях [6] выполнялось условие  $v_0 > v_f$ , которое усиливается, если учесть следующее: в [6] испытывались отожженные образцы из алюминия (что дает уменьшение  $v_f$  при  $T_0 \approx T_{00}$ ), кроме того, при  $T_0 > T_{00}$  скорость  $v_f$  уменьшается с ростом  $T_0$ . Ясно, что когда энергия волны растяжения превышает энергию, необходимую для отката (т. е. при  $v_0 > v_f$ ), трудно ожидать заметного влияния температуры при  $20^\circ \leq T_0 \leq 320^\circ\text{C}$  на процесс отката. Иное дело, когда энергия волны растяжения близка к энергии отката



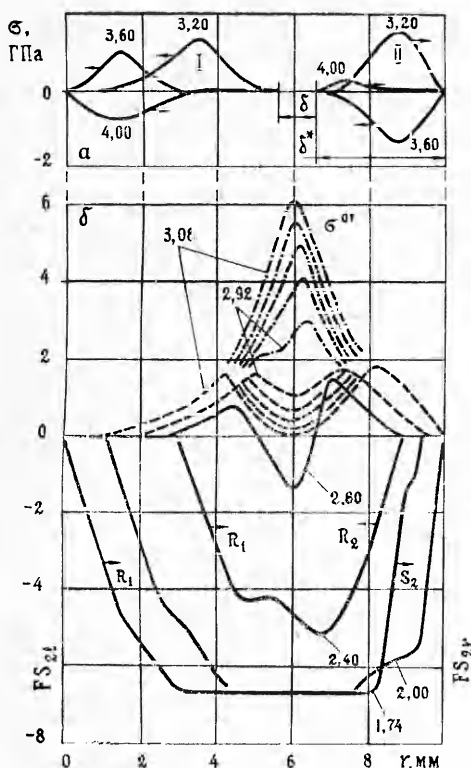
Фиг. 2

$(v_0 \approx v_f)$  — в этих условиях в [18] показано влияние температуры  $T_0$  на величину пороговых скоростей  $v_m$  и  $v_f$  и на кинетику откола при  $T_0 > T_{00}$  и  $T_0 < T_{00}$ .

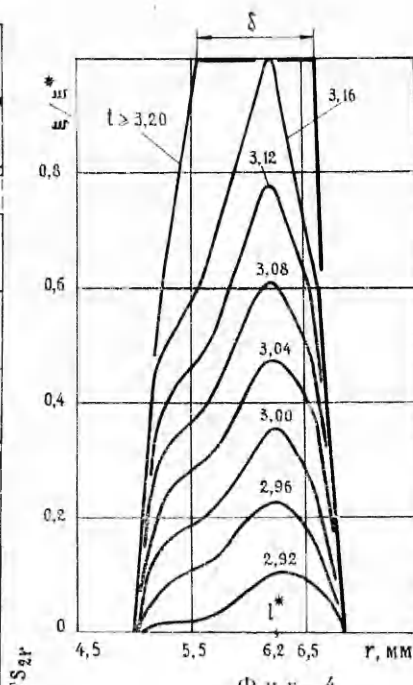
**4. Численные результаты.** Модель повреждаемой среды использовалась для численного описания откольного разрушения пластин в условиях экспериментов [12]. В [12] мишень из армко-железа нагружалась ударом алюминиевой пластины со скоростью  $v_0 \approx 600$  м/с; испытывались следующие три пары пластин  $l_1 - l_2$  (в мм): 5—10, 2—10, 2—20, для которых емкостной методикой регистрировался профиль скорости внешней свободной поверхности мишени  $W(t)$ . В модельных расчетах рассматривалось несколько вариантов кинетического уравнения (3.3), показавших, что достаточно хорошо работает следующая кинетика:

$$\dot{\xi} = \frac{\sigma^0 - \sigma_L}{\tau_K \sigma_L^0} (1 + \xi) \quad \text{при} \quad \xi < \xi^* \quad \text{и} \quad \sigma^0 > \sigma_L = \sigma_L^0 (1 - F(\xi)),$$

которая удовлетворительно согласовала имеющиеся экспериментальные и расчетные факты. Расчетные данные для экспериментов [12] представлены на фиг. 2 в виде профилей скорости свободной поверхности мишени  $W(t)$  (кривая 1 — для пары 5—10; кривая 2 — для пары 2—10; кривая 3 — для пары 2—20), полученных при следующих значениях кинетических констант:  $\tau_K = 0,07$  мкс;  $\sigma_L^0 = 1,8$  ГПа;  $\xi^* = 0,075$ ;  $F(\xi) = (\xi/\xi^*)^{1/2}$ ;  $e_\xi^s = 0$ . Из фиг. 2 видно достаточно хорошее качественное и количественное согласование расчетных (сплошные линии) и экспериментальных (штриховые линии) данных. Большее рассогласование кривых 3 для мишени длиной 20 мм возможно вызвано влиянием боковой разгрузки. Анализ условий опытов [12] показал, что реализуемая в них скорость удара  $v_0$  больше соответствующей пороговой скорости  $v_f$  для испытываемых пар пластин  $l_1 - l_2$ . Для описания разрушений в более широком диапазоне нагрузок необходима информация о соударении пластин (допустим, пары 2—10) при меньших скоростях удара, близких к  $v_f$ , когда бы реализовались частичные повреждения ( $v_0 < v_f$ ) и начальный полный откол ( $v_0 \approx v_f$ ). На фиг. 3, б показан полный импульс сжатия, сформировавшийся в мишени при испытании пластин 5—10. На эпюрах  $\sigma(r)$  стрелками указано направление движения фронтов сжатия  $S_2$  и разрежения  $R_1$ . После выхода переднего фронта импульса сжатия  $S_2$  на правую свободную поверхность мишени  $FS_{2r}$  (см. эпюру  $\sigma(r)$  при  $t = 2,00$  мкс) происходит формирование волны разгрузки  $R_2$ , движущейся назад от поверхности  $FS_{2r}$ . Положение встречных волн разрежения  $R_1$  и  $R_2$  показано эпюрой  $\sigma(r)$  при  $t = 2,40$  мкс. Столкновение волн  $R_1$  и  $R_2$  приводит к формированию импульса растяжения. Приведенные на фиг. 3 эпюры растягивающих напряжений  $\sigma^{0'}$  в виде штрихпунктирных линий в моменты вре-



Фиг. 3



Фиг. 4

мени  $t = 2,92; 2,96; 3,00; 3,04; 3,08$  мкс рассчитаны в предположении, что при любой интенсивности растягивающих напряжений в мишени повреждений не

происходит. В те же моменты времени, но уже в виде штриховых линий представлены эпюры  $\sigma$ , полученные с учетом образующихся микроповреждений (микротреции). Сопоставление полученных результатов (ср. штрихпунктирные и штриховые линии) показывает сильное влияние образующихся микроповреждений на всю картину течения. Рост удельного объемного содержания микроповреждений в мишени в те же моменты времени  $t$  показан на фиг. 4. Из данных фиг. 3, 4 следует, что зона повреждений локализуется в средней части мишени, а наиболее опасное сечение приходится на глубину  $l^* = 6,2$  мм. Из эпюр  $\sigma(r)$  и  $\xi(r)$  при  $t = 2,92$  мкс видно, что образование микроповреждений даже в очень малом количестве приводит к значительной релаксации напряжений  $\sigma(r, t)$ . В момент  $t = 3,16$  мкс на глубине  $l^*$  имеет место разрушение скелета матрицы мишени и образование сквозной макротреции. На фиг. 3, a показаны область полного разрушения мишени  $\delta$  (см. также фиг. 4) и длина отлетающего слоя  $\delta^*$ . Здесь же эпюрами  $\sigma(r)$  в моменты времени  $t = 3,20; 3,60; 4,00$  мкс показана дальнейшая эволюция разделившихся импульсов растяжения I и II, действующих в оставшейся (большой) части мишени и в отделившемся слое  $\delta^*$ . По выходе импульса растяжения II на внешнюю неповрежденную свободную поверхность  $FS_{2r}$  происходит его отражение в виде импульса сжатия (см. эпюры  $\sigma(r)$  при  $t = 3,20$  и  $3,60$  мкс). При возвратном движении и отражении импульса сжатия уже от внутренней свободной поверхности слоя  $\delta^*$ , имеющего поврежденную (трещиноватую) структуру, наблюдается заметное ослабление вновь образовавшейся волны растяжения (см. эпюры  $\sigma(r)$  в моменты  $t = 3,60$  и  $4,00$  мкс).

Рассмотрим теперь серию опытов эксперимента [21], в которой мишень из стали Ст. 3 различной длины ( $l_2 = 5; 10; 20; 25; 30$  и  $40$  мм) нагружалась стальным ударником ( $l_1 = 1,06$  мм,  $v_0 = 960$  м/с). На фиг. 5 опытные данные с учетом указанных в [21] погрешностей измерения  $\delta^*$  и  $w^*$  (средней скорости полета отколовшегося слоя) представлены в виде прямоугольников на координатной плоскости ( $\delta^*, w^*$ ). Точками I и II



Ф и г. 5

показаны численные результаты, полученные соответственно с использованием схемы мгновенного откола [7] и модели повреждаемой среды. Приведенные на фиг. 5 данные подтверждают сделанные в [7] выводы. В частности, схема мгновенного откола (точки I) очень хорошо описывает опыты 1 и 2, в то же время для этих опытов имеется значительное расхождение результатов, полученных при использовании модели повреждаемой среды (точки II). Это понятно, поскольку в опытах 1 и 2 реализуются отколы, близкие к гладким. Наоборот, хорошее соответствие наблюдается для точек II и опытов 3—5, когда в более длинных мишенях со снижением интенсивности формирующегося импульса растяжения (в результате затухания ударной волны по глубине образца) откольное разрушение определяется уже образованием и накоплением микроповреждений. Наоборот, хорошее соответствие наблюдается для точек II и опытов 3—5, когда в более длинных мишенях со снижением интенсивности формирующегося импульса растяжения (в результате затухания ударной волны по глубине образца) откольное разрушение определяется уже образованием и накоплением микроповреждений.

Анализ представленных данных дает возможность предположить, что пороговая скорость удара  $v_d$  в рассматриваемых условиях реализуется для пар пластин, близких к паре, испытываемой в опыте 3 ( $l_1 = 1,06$  мм;  $l_2 = 20$  мм,  $v_d = 960$  м/с). Имеющееся рассогласование для опыта 6 вызвано неточностями при восстановлении в опытах длины  $\delta^*$  (см. [7]), а возможное поле значений  $\delta^*$  и  $w^*$  на фиг. 5 отмечено штриховыми линиями.

В заключение отметим, что в модели повреждаемой среды можно учесть энергетические затраты  $e_{\xi}^*$ , идущие на образование поверхностей микроповреждений. При  $e_{\xi}^* = e_{\xi}^* \xi / \xi^*$  в (2.3) ( $e_{\xi}^*$  — энергия, необходимая для образования поверхностей разрушения объема  $\xi^*$ ) проведены численные эксперименты, в которых величина  $e_{\xi}^*$  предварительно оценивалась, а затем варьировалась в достаточно широких пределах. Эти расчеты показали, что в предлагаемой модели влияние величины  $e_{\xi}^*$  на процесс откольного разрушения мало и определяющим фактором в динамических откольных разрушениях является образование, рост и накопление микроповреждений. Представленные в работе результаты показывают, что модель повреждаемой среды позволяет качественно и количественно описать имеющиеся экспериментальные факты, понять и проанализировать условия разрушения в волнах разгрузки, классифицировать откольные разрушения пластин введением пороговых скоростей удара  $v_s$ ,  $v_m$ ,  $v_f$  и  $v_d$ . Для дальнейшей детализации модели необходимы экспериментальные данные не только на макроуровне (фиксирование откольной трещины и наличия повреждений) при различных скоростях удара, но и на микроуровне — определение пороговых скоростей удара, отвечающих началу роста суб- и микроповреждений, количественная оценка микроповреждений, изучение структуры зон повреждений и т. д.

В работе автор постоянно пользовался вниманием и советами Р. И. Нигматулина, за что приносит ему искреннюю благодарность.

Поступила 8 VI 1982

#### ЛИТЕРАТУРА

- Регель В. Р., Слуцкер А. И., Томашевский Э. Е. Кинетическая природа прочности твердых тел. М.: Наука, 1974.
- Иванов А. Г., Новиков С. А., Тарасов Ю. И. Откольные явления в железе и стали, вызванные взаимодействием ударных волн разрежения. — ФТТ, 1962, т. 4, № 1.

3. Тарасов Б. А. О количественном описании откольных повреждений.— ПМТФ, 1973, № 6.
4. Тарасов Б. А. Сопротивление разрушению пластин при ударном нагружении.— Проблемы прочности, 1974, № 3.
5. Seaman L., Curran D. R., Shockley D. A. Computational models for ductile and brittle fracture.— J. Appl. Phys., 1976, vol. 47, N 11.
6. Златин Н. А., Пугачев Г. С. и др. Временная зависимость прочности металлов при долговечностях микросекундного диапазона.— ФТТ, 1975, № 9.
7. Ахмадеев Н. Х., Нигматулин Р. И. Моделирование откольного разрушения при ударном деформировании. Анализ схемы мгновенного откола.— ПМТФ, 1981, № 3.
8. Carroll M., Holt A. C. Suggested modification of the  $\rho - \alpha$  model for porous material.— J. Appl. Phys., 1972, vol. 43, N 2.
9. Работнов Ю. Н. Ползучесть элементов конструкций. М.: Наука, 1966.
10. Глушко А. И. Исследование откола как процесса образования микропор.— МТТ, 1978, № 5.
11. Davison L., Stevens A. L., Kipp M. E. Theory of spall damage accumulation in ductile metals.— J. Mech. Phys. Solids, 1977, vol. 25, N 1.
12. Канель Г. И., Щербани В. В. Пластическая деформация и откольное разрушение железа Армко в ударной волне.— ФГВ, 1980, № 4.
13. Нигматулин Р. И., Ахмадеев Н. Х., Холин Н. Н. Физико-химические процессы в твердых телах при взрывном нагружении.— Сб. докл. междунар. конф. «Нелинейные волны деформации». Ч. 2. Таллин, 1977.
14. Нигматулин Р. И. Основы механики гетерогенных сред. М.: Наука, 1978.
15. Ахмадеев Н. Х. Моделирование детонационных волн в твердых ВВ.— ФГВ, 1981, № 1.
16. Жарков В. Н., Калинин В. А. Уравнения состояния твердых тел при высоких давлениях и температурах. М.: Наука, 1968.
17. Клещевников О. А., Софонов В. И. и др. Экспериментальная проверка критериев разрушения в опытах с медными образцами.— ЖТФ, 1977, № 8.
18. Голубев В. К., Новиков С. А. и др. Влияние температуры на критические условия откольного разрушения металлов.— ПМТФ, 1980, № 4.
19. Ахмадеев И. Х., Ахметова И. А. Кинетика динамического разрушения в волнах разгрузки.— В кн.: Аннотации докл. V Всесоюз. съезда по теор. и прикл. механике. М.: Наука, 1981.
20. Нигматулин Р. И., Ахмадеев Н. Х., Ахметова Н. А. Разрушение пластин из армкожелеза в волнах разгрузки.— В кн.: Детонация. Физические свойства веществ в ударных волнах. Черноголовка, 1981.
21. Рыбаков А. П. Отколы в стали при нагружении с помощью взрыва листового заряда ВВ и удара пластины.— ПМТФ, 1977, № 1.

УДК 539.375

## О ДИССИПАТИВНОМ КРИТЕРИИ РАЗРУШЕНИЯ ПРИ ПОЛЗУЧЕСТИ

B. I. Астафьев

(Куйбышев)

Для описания процесса ползучести металлов при высоких температурах наиболее перспективной и широко используемой в настоящее время является гипотеза уравнения состояния Ю. Н. Работнова [1]. Согласно этой гипотезе, тензор скоростей деформаций ползучести  $\dot{p}_{ij}$  определяется текущими значениями тензора напряжений  $\sigma_{ij}$ , температуры  $T$  и структурных параметров  $q_1, q_2, \dots, q_n$ , изменения которых можно описать соответствующими кинетическими уравнениями:

$$\dot{p}_{ij} = \dot{p}_{ij}(\sigma_{kl}, T, q_1, q_2, \dots, q_n), \quad \dot{q}_m = \dot{q}_m(\sigma_{kl}, T, q_1, q_2, \dots, q_n).$$

Конкретизация этих соотношений и структурных параметров позволяет описать все три стадии ползучести либо некоторые из них.

Ограничимся далее одномерным случаем при постоянной температуре, чтобы не исследовать вопрос о влиянии вида напряженного состояния или переменности температуры на процесс ползучести.

В [1—4] для описания процесса разрушения при ползучести принят один скалярный структурный параметр  $\omega(t)$ . Этот, по существу, «микроструктурный» параметр отражает степень внутренней поврежденности материала и изменяется от нуля в не-поврежденном состоянии до единицы в момент разрушения. В [5—7] в качестве такого параметра выбрана величина рассеянной в процессе ползучести энергии  $D(t) =$